

Se₉₅Tes XALKOGENİD ŞÜŞƏVARİ SİSTEMİNDE ŞÜŞƏLƏŞMƏ VƏ KRİSTALLAŞMA PROSESLƏRİ

M.Q. TARVERDİYEV, S.U. ATAYEVA

Azərbaycan Respublikası Elm və Təhsil Nazirliyi Fizika İnstitutu

AZ-1143, Azərbaycan, Bakı, H. Cavid pr.131

E-mail: seva_atayeva@mail.ru

Se₉₅Tes XSY sisteminin şüşəyə keçid və kristallaşma prosesləri 5,10,15,20 K/dəq qızdırma sürəti ilə qeyri-izotermik rejimdə diferensial skan edən kalorimetrdən istifadə etməklə tədqiq edilmişdir. Şüşələşmə, kristallaşma və ərimə temperaturları təyin olunmuş və şüşəyə keçid temperaturunun kiçildilmiş dəyəri (T_{rg}), Hruby əmsali (K_{gl}), kövrəklik əmsali (F_t), və Avrami əmsalları (n və m), həmçinin şüşələşmə və kristallaşma proseslərinin aktivləşmə enerjisi (140.24 kC/mol, 95.11 kC/mol) hesablanmışdır. Göstərilmişdir ki, XSY Se₉₅Tes tərkibi yüksək dərəcədə şüşə əmələ gətirmə xassəsinə malikdir. Müəyyən edilmişdir ki, kristallaşma mexanizmi ($n=2.51$ $m=1.9$) iki ölçülü böyümə ilə müşayət olunan həcmli nüvələşməyə uyğundur.

Açar sözlər: xalkogenid, şüşələşmə temperaturu, kristallaşma temperaturu, kövrəklik əmsali.

PACS: 81.05.Gc

1. Giriş

Amorf yarımkəcicilər həm elmi, həm də texnoloji maraqlara əsaslanan intensiv tədqiqatların mövzusudur. Müxtəlif fiziki xassələrin qeyri-adi birləşməsinə görə onlar bir çox qabaqcıl texnoloji sahələrdə (mikro-elektronika, optoelektronika və s.) perspektivli materiallar hesab edilir [1-3], lakin onların istifadəsi termodynamik qeyri-sabitliklə məhdudlaşır. Maye fazadan soyudulmaqla alınan amorf yarımkəcicilərin quruluşu sonrakı şüşələşmə və kristallaşma proseslərində dəyişikliklərə meyllidirlər. Hər iki proses termik aktivləşmə təbiətlidir və materialın fiziki xassələrinin nəzərə çarpan dəyişmələrinə səbəb olur.

Şüşəvari yarımkəcicilərin quruluşunun və fiziki parametrlərinin istilik proseslərində və zamana görə stabilliyini qiyənləndirmək üçün qeyd olunan proseslərin aktivləşmə enerjisini və keçid temperaturlarını müəyyən etmək lazımdır. Soyutma üsulu ilə amorf maddələrin alınma prosesinin mürəkkəbliyi ondan ibarətdir ki, səth qatında və materialların bütün həcmində struktur dəyişiklikləri müxtəlif temperaturlarda və müxtəlif aktivləşdirmə enerjiləri ilə baş verə bilər. Bundan əlavə, alınan amorf maddələrin parametrləri bir çox amillərdən (soyutma sürəti və temperaturu, şüalanma, mexaniki emal və s.) asılıdır.

Şüşə halının termik nəzəriyyəsi hələ ümumi qəbul edilmiş nəzəri inkişaf halına çatmayışdır. Xalkogenid şüşələr atomar səviyyədə kimyəvi, kinetik və termodynamik proseslərin bir-biri ilə sıx əlaqəli olduğu mürəkkəb sistemlərdir. Bu sistemlərin əsas texnoloji tətbiqlərini optimallaşdırmaq üçün onlarda başverən bu mürəkkəb proseslər haqqında daha ətraflı məlumat lazımdır. Televiziya sistemləri üçün optik və optoelektronik komponentlər, lazer enerjisinin dalğa ötürücləri, temperatur, kimyəvi, tibbi sensorlar və telekommunikasiyalar üçün qurğular [[4], [5], [6]] ideal, sabit və kristallaşmaya davamlı şüşə materiallar tələb edir. Digər tərəfdən, sürətli kristallaşma faza yaddaş elementlərinə qoyulan mühüm tələblərindən biridir [7]. Kristallaşmada nüvələşmə, böyümə və ümumi kristallaşmanın termodinamikası və kinetikası mexanizmləri ha-

qında hərtərəfli bilik kristallaşma davranışını proqnozlaşdırmağa və xüsusi tətbiqlər üçün yararlı olan materialın tərkibini və hazırlama üsullarını optimallaşdırmağa imkan verəcəkdir.

Selen və tellur dövri cədvəldə yaxın qonşu elementlər olsalar da, şüşə əmələ gətirmək üçün tamamilə fərqli qabiliyyətlər nümayiş etdirirlər. Se çox yaxşı şüşə əmələ gətirəndir və infraqırmızı şəffaflığı və kristallaşmaya davamlılığı ilə məşhur olan çoxsaylı şüşə kompozisiyalarının yaradılmasında istifadə olunur. Qeyd olunan materiallar optik liflər və linzalar kimi mürəkkəb optik cihazların əsas hissəsinə çevrilə bilərlər. Lakin onların şəffaflığı Se-nin nisbətən kiçik atom kütləsinə malik olması səbəbindən texminən dalğa uzunluğunun 12 mkm qiyməti (optik sistemin qalınlığından asılı olaraq) ilə məhdudlaşır. Digər tərəfdən, tellur daha ağırdır, ona görə də, onun Se ilə birləkdə istifadəsi IR şəffaflıq həddini 20 mkm-dən də yüksək qiymətlərə qədər dəyişməyə imkan verir. Se-Te ərintiləri həm də yüksək işığa həssaslığına görə geniş istifadə olunur. Onlar həmçinin təmiz amorf Se ilə müqayisədə daha yüksək şüşə keçid və kristallaşma temperaturlarına və daha aşağı yaşlanması təsirlərinə malikdirlər [8].

Məlumdur ki, diferensial skan edən kalorimetriya (DSK) amorf materialların istilik və müvəqqəti dayanıqlığının öyrənilməsində çox faydalı vasitədir, müxtəlif metalların, yarımkəcici şüşələrin səthində və həcmində struktur transformasiyalarının keçid temperaturlarını və aktivləşmə enerjilərini təyin etməyə imkan verir. Təqdim olunan iş dörd müxtəlif qızdırma sürətində (5, 10, 15 və 20 deq/dəq) DSK skanından istifadə etməklə şüşəvari Se₉₅Tes ərintisində şüşələşmə və kristallaşma kinetikası öyrənilməsinə həsr olunmuşdur. Müxtəlif nəzəri yanaşmalardan (Kissincer metodu [9,10], Oqis və Bennet metodu [11], Matusita metodu [12], Qao və Vanq metodu [13]) istifadə edərək, şüşə keçid proseslərinin və kristallaşmanın kinetikasını xarakterizə edən əsas parametrlər, - aktivləşmə enerjisi, Avram indeksi, Harbi əmsali (şüşə əmələ gətirmə qabiliyyətinin göstəricisi), kövrəklik indeksi qiymətləndirilmişdir.

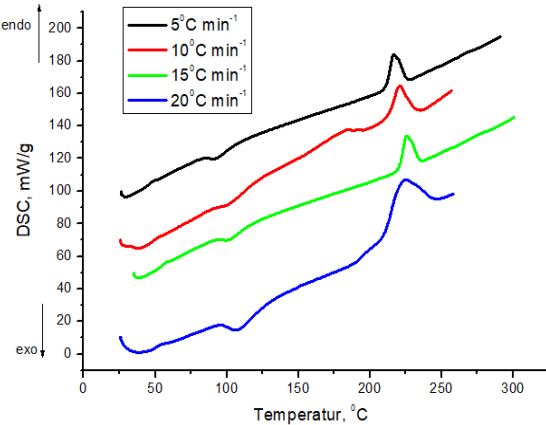
2. Eksperimental metodika və nümunələrin hazırlanması

$\text{Se}_{95}\text{Te}_5$ tərkibli XSY-nin sintezi yüksək təmizliyə malik kimyəvi elementlər müvafiq miqdarda 10^{-4} mm Hg-də təzyiqə qədər havası sorulmuş kvarts ampulaya doldurularaq firlanan sobada əridilmiş, sonra soba söndürülərək soyudulmuşdur. Ocaqdakı temperatur təmiz Se (221°C) və təmiz Te -un (450°C) ərimə temperaturundan yuxarı, təqribən 800°C -ə qədər qızdırılmış və bu temperaturda 12 saat saxlanılmışdır. Hazırlanmış toplu nümunələr əzilmiş və toz şəklində təqdim edilmişdir. Şüşəvari $\text{Se}_{95}\text{Te}_5$ ərintinin şüşə halına keçidinin və kristallaşmasının təbiəti DSK metodu ilə tədqiq edilmişdir. DSC məlumatları STA-6000 sinxron istilik analizatorunda ərimə və kristallaşma termoqramlarını təhlil etməklə əldə edilmişdir. Tədqiqatlar təxminən $m=15\text{mg}$ kütləsi olan seçilmiş nümunələrə verilən $30\text{dərəcə}/\text{dəq}$ istilik axını sürəti ilə $T=25\text{--}600^\circ\text{C}$ temperatur diapazonunda aparılmışdır. Eksperimental olaraq əldə edilmiş DSK əyriləri istilik axınının (mC/s) və ya istilik tutumunun (C/K) asılılığını eks etdirir. Azot atmosferində isitmə müəyyən bir sürətlə baş verən idarə olunan programla aparılır və ölçümə prosesi zamanı etalon və tədqiq olunan materialın istilik axınları müqayisə edilir. İstinad nümunəsi kimi boş alüminium kyuvet istifadə edilmişdir. $\text{Se}_{95}\text{Te}_5$ şüşəli ərintinin DSK əyriləri 5, 10, 15, 20 dər/dəq. qızdırılma sürətlərində çəkilmişdir.

3. Eksperimental nəticələr və onların müzakirəsi

a. XSY $\text{Se}_{95}\text{Te}_5$ tərkibində şüşələşmə prosesi

Şəkil 1-də 5, 10, 15 və 20 K/dəq qızdırılma sürətlərində $\text{Se}_{95}\text{Te}_5$ tərkibinin DSK əyriləri göstərilir.



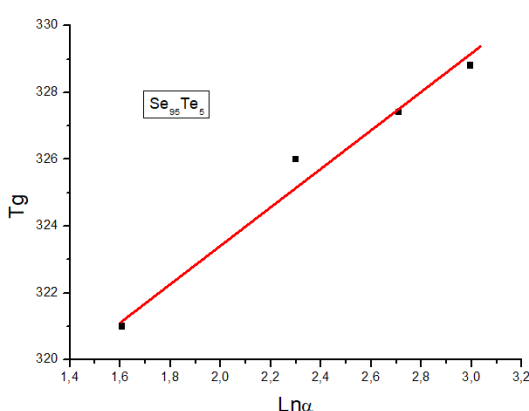
Şəkil 1. XSY $\text{Se}_{95}\text{Te}_5$ tərkibinin 5, 10, 15 və 20 K/dəq qızdırılma sürətlərində DSK əyriləri.

Bu qrafiklərdən şüşələşmə temperaturu (T_g) (endotermik pik) və kristallaşma temperaturu (T_c) (ekzotermik pik), həmçinin ərimə temperaturu (T_m) (yüksək temperaturlu endotermik pik) təyin edilmişdir (Cədvəl 1).

Cədvəl 1.

Xalkogenid $\text{Se}_{95}\text{Te}_5$ tərkibininin kalorimetrik parametrləri.

Heat-in grate	T_g (K)	T_c (K)	T_m (K)	K_{gl}	K_p	F_i	T_g/T_m	T_c-T_m (K)
5	321	365,7	488,9	0,36	0,00042	22	0,66	44,7
10	326	374,6	457,3	0,59	0,000807	15	0,71	48,6
15	327,4	377,7	496,2	0,43	0,00119	13	0,66	50,3
20	328,8	380,8	497,8	0,44	0,00156	12	0,66	52



Şəkil 2. $\text{Se}_{95}\text{Te}_5$ xalkogenid sistemi üçün T_g -nin qızdırılma sürətindən (α) asılılıq qrafiki.

Şəkil 2-də T_g -nin qızdırılma sürətindən (α) asılılığının qrafiki göstərilir, bu empirik ifadəyə uyğundur:

$$T_g = A + B \ln(\alpha) \quad (1)$$

Tədqiq etdiyimiz $\text{Se}_{95}\text{Te}_5$ amorf sistemi üçün A və B-nin ədədi qiymətləri qrafikdən hesablanmış və müvafiq olaraq $A=310.71\text{ K}$, $B=5.71\text{dəq}$ təşkil etmişdir.

Qızdırma sürətinin artımındaki dəyişikliklərin eyni şəkildə kristallaşma və şüşəyə keçid piklərinin mövqelərinə təsir etdiyini nəzərə alaraq, [9-10] müəllifi tərəfindən təklif olunan və qızdırma sürəti ilə kristallaşmanın pik temperaturu arasındaki əlaqəni ifadə edən (2) düsturu şüşələşmənin aktivlaşma enerjisini təyin etmək üçün də istifadə olunur.

$$\ln \left(\frac{\alpha}{T_g^2} \right) = - \frac{E_g}{RT_g} + \text{const} \quad (2)$$

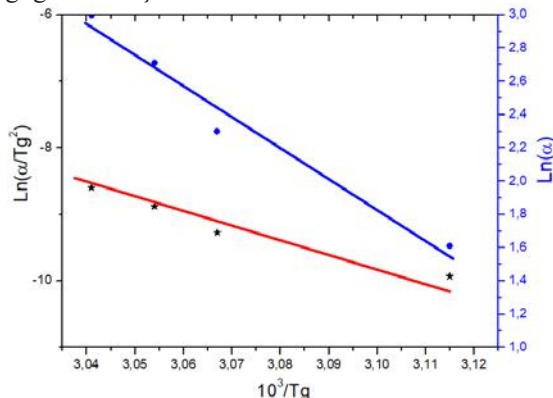
Burada, α qızdırılma sürəti, R universal qaz sabitidir.

[14-16]-nın müəllifləri, istilik relaksasiyası fenomeni baxımından T_g -nin [14]-də alınan qızdırılma sürətindən asılılığını nəzərə alaraq, aşağıdakı düstur təklif etdilər:

$$\ln(\alpha) = - \frac{E_g}{RT_g} + \text{const} \quad (3)$$

Se₉₅Te₅ XALKOGENİD ŞÜŞƏVARI SİSTEMİNDE SÜSƏLƏSMƏ VƏ KRİSTALLAŞMA PROSESLƏRİ

Şəkil 3-də $\ln(\alpha/T_g^2)$ və $\ln\alpha$ -nın $10^3/T_g$ -dən asılılığı göstərilmişdir.



Şəkil 3. Xalkogenid $Se_{95}Te_5$ tərkibi üçün $\ln(\alpha/T_g^2)$ və $\ln\alpha$ -nın $10^3/T_g$ -dən asılılıq qrafikləri.

Bu qrafiklərdən (2) və (3) düsturlarından istifadə etməklə şüşələşmənin aktivləşmə enerjiləri hesablanmış, onların nəticələri üçün 132,96 və 147,51 kC/mol, orta qiymət isə 140,24 kC/mol alınmışdır.

Cədvəl 1-də təqdim olunan kalorimetrik müşahidələrdən və [17]-nin müəllifi tərəfindən təklif olunan $T_{rg} = T_g/T_m$ düsturundan istifadə edərək şüşə əmələ gətirmə qabiliyyətini xarakterizə edən şüşələşmə temperaturunun kiçildilmiş qiyməti hesablanmış nəticəsi isə cədvəl 1-də göstərilmişdir. T_{rg} - şüşəyə kecid temperaturunun kiçildilmiş qiyməti, T_m - ərimə temperaturudur. Cədvəldən göründüyü kimi, bütün T_{rg} dəyərləri üçdə iki qaydaya təbə [18] ($T_{rg} \geq 0,65K$), yəni. XSY $Se_{95}Te_5$ tərkibi yüksək şüşə əmələ gətirmə qabiliyyətinə malikdir. Cədvəl 1-də, həmçinin amorf matrisanın möhkəmliyini və sərtliyini xarakterizə edən kristallaşma temperaturu (T_c) və şüşə kecid temperaturu (T_g) arasındaki fərqi təqdim edilmişdir. Qızdırılma sürətinin artması ilə $T_c - T_g$ -nin ədədi qiyməti artır. Amorf maddənin istilik dayanıqlığını və şüşə əmələ gətirmə qabiliyyətini təyin edən digər mühüm parametr Hruby əmsali adlanır və $K_{gl} = (T_c - T_g)/(T_m - T_c)$ düsturu ilə ifadə edilir [19]. Bu parametrin ədədi dəyərləri də cədvəl 1-də göstərilmişdir. Bu parametrlərə əlavə olaraq, kövrəklik adlanan empirik parametr də istifadə olunur [20-21], relaksasiya vaxtinin istilik sürətindən və temperaturdan asılılığını xarakterizə edir və (4) düsturu ilə ifadə edilir.

$$F_i = \frac{E_g}{RT_g \ln(\alpha)} \quad (4)$$

F_i -nin hesablanmış qiymətlərini kifayət qədər kiçik olması (cədvəl 1), [22]-yə görə, XSY $Se_{95}Te_5$ tərkibinin yüksək şüşə əmələ gətirmə qabiliyyətini göstərir. Beləliklə, mövcud nəzəri yanaşmalardan istifadə edərək kalorimetrik tədqiqatların təcrübə nəticələrinə əsasən müəyyən edilmişdir ki, $Se_{95}Te_5$ tərkibi yüksək perspektivli xassalərlə (təmiz selenlə müqayisədə yüksək işığa həssaslıq, möhkəmlik və s.) yanaşı, həm də yüksək şüşə əmələ gətirmə qabiliyyətinə malikdir.

b. XSY $Se_{95}Te_5$ tərkibində kristallaşma prosesi

Maddənin amorf haldan kristal hala keçməsinin kinetikası və mexanizmi kristallaşmanın temperaturu və aktivləşmə enerjisi, həmçinin nüvələşmə proseslərini və onların böyüməsini xarakterizə edən m və n əməsalları ilə xarakterizə olunur. Müxtəlif qızdırılma sürətlərində kristallaşma temperaturunun pik dəyərlərindən istifadə edərək (şəkil 1, cədvəl 1) kristallaşmanın aktivləşmə enerjisi (5) düsturundan istifadə olunmaqla hesablanmışdır.

$$\ln\left(\frac{\alpha}{T_p^2}\right) = -\frac{E_c}{RT_p} + const \quad (5)$$

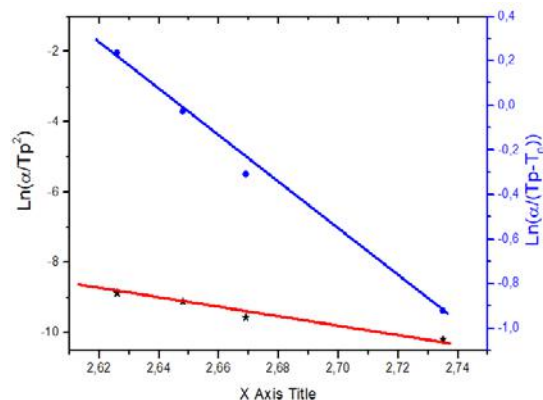
T_p və E_c -kristallaşma temperaturunun pikinə uyğun qiyməti və aktivləşmə enerjisidir.

Kristallaşmanın aktivləşmə enerjisi [11] müəllifləri tərəfindən təklif olunan (6) düsturu ilə də hesablanır.

$$\ln\left[\frac{\alpha}{(T_p - T_o)}\right] \cong -\frac{E_c}{kT_p} + \ln K_0 \quad (6)$$

T_o – kristallaşmanın başladığı temperatur, K_0 – tezlik faktoru.

Şəkil 4-də $\ln(\alpha/T_p^2)$ və $\ln\left(\frac{\alpha}{(T_p - T_o)}\right)$ -nin qrafikləri göstərilmişdir, bunun əsasında kristallaşmanın aktivləşmə enerjisi hesablanmış və nəticələr cədvəl 2-də təqdim olunmuşdur.



Şəkil 4. $Se_{95}Te_5$ xalkogenid tərkibi üçün $\ln\left(\frac{\alpha}{T_p^2}\right)$ və $\ln\left[\frac{\alpha}{(T_p - T_o)}\right]$ -nin $10^3/T_p$ -dən asılılıq qrafikləri.

Cədvəl 2.

Müxtəlif üsullardan istifadə etməklə hesablanmış kristallaşmanın aktivləşmə enerjisi E_c .

Method	$E_c / \text{kJ mol}^{-1}$
Kissinger's method	99,93
Augis and Bennett method	88,48
Matusita's method	102,05
Average value	96,82

[19,22, 23,24] əsərlərin müəllifləri DSK tədqiqatı ilə müəyyən edilmiş eksperimental faktları şərh etmək üçün transformasiya kinetikasının formal nəzəriyyəsini

və t zamanı həcmiñ kristallaşmış hissəsinin (α) ifadə edən düsturları təklif etmişlər.

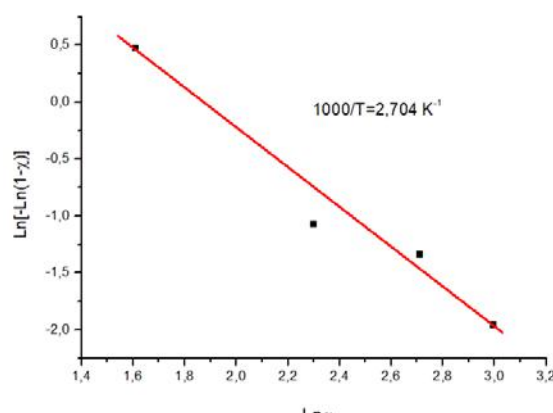
$$\alpha = 1 - \exp[-(Kt)^n] \quad (7)$$

$$K = K_0 \exp\left(-\frac{E_c}{RT}\right) \quad (8)$$

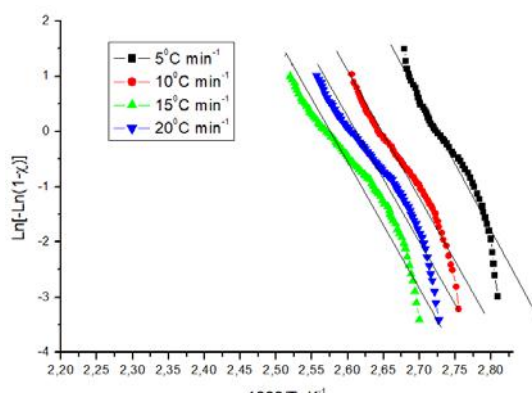
K – effektiv reaksiya sürəti, K_0 – tezlik faktoru. Kristallaşmanın kinetikası və mexanizmi izotermik proses üçün [19,22,23,24] müəllifləri tərəfindən təklif olunan modeldən istifadə etməklə öyrənilir. Qeyri-izotermik üsulda sabit sürətlə qızdırma zamanı nümunə həcmiñ kristallaşmış hissəsinin temperaturdan və qızdırılma sürətindən asılılığı (9) düsturu ilə ifadə edilir [12]:

$$\ln[-\ln(1-\alpha)] = -\ln(\alpha) - 1,052 \frac{mE_c}{RT} + \text{const} \quad (9)$$

burada, m və n , yuxarıda qeyd edildiyi kimi, ədədi əmsallardır, onların arasındakı əlaqələr kristallaşma mexanizmindən asılıdır. DSK tədqiqatları zamanı nüvələşmə baş verdikdə və nümunə sabit sürətlə qızdırıldıqda $n=m+1$ olur. DSK ölçmələrindən əvvəl bəzi istilik emalı nəticəsində yaranan nüvələrin qızdırılma prosesində böyüməsi baş verdikdə isə $n = m$ şərti ödənilir.



Şəkil 5. Se₉₅Te₅ xalkogenid tərkibini üçün $\ln[-\ln(1-\alpha)]$ -in $\ln(\alpha)$ -dan asılılıq qrafiki.



Şəkil 6. Se₉₅Te₅ xalkogenid tərkibini üçün $\ln[-\ln(1-\alpha)]$ -in $10^3/T$ -dan asılılıq qrafiki.

$\ln[-\ln(1-\alpha)]$ -in $\ln(\alpha)$ -dan (şəkil 5) və $10^3/T$ -dan (şəkil 6) asılılıq qrafikindən n və mE_c -nin ədədi qiymətləri müəyyən edilir.

Təcrübərimizdə bu əmsalların dəyərləri $n = 2.51$ $m=1.9$ oldu. [25]-ə görə, kristallaşma mexanizmini xarakterizə edən əmsalların göstərilən dəyərləri iki ölçülü böyümə ilə müşayiət olan həcmli nüvələşməyə uyğundur.

Qrafikdən göründüyü kimi (şəkil 6), ilkin hissədə qrafikin mailliyi yüksəkdir, lakin temperaturun artması ilə nəzərə çarpacaq dərəcədə azalır. Güman edilir ki, zamanın ilkin anında nüvələşmə və onların böyüməsi prosesləri parallel olaraq baş verir, hər biri kristallaşma prosesinə müəyyən töhfə verir. Zaman keçdikcə nüvələşmə prosesi zəifləyir və nüvənin böyüməsi üstünlük təşkil edir ki, bu da kristallaşmanın aktivləşmə enerjisinin azalmasında əks olunur.

Nəticə

XSY Se₉₅Te₅ tərkibinin şüşələşmə və kristallaşma prosesləri qeyri-izotermik rejimdə DSK metodundan istifadə etməklə tədqiq edilmişdir. Müxtəlif qızdırma sürətlərində (5, 10, 15 və 20 K/dəq), şüşəyə keçidi (T_g), kristallaşma (T_p), ərimə (T_m) temperaturları təyin edilmiş və müəyyən edilmişdir ki, qızdırma sürətinin artması ilə T_g , T_p artır. Eksperimental DSC məlumatlarından istifadə edərək amorf matrisanın şüşəyə keçid temperaturunun kiçildilmiş qiyməti (Trg), kristallaşma və şüşəyə keçid temperaturları arasındaki fərqi ($T_c - T_g$), Hraby əmsali (K_g) və kövrəklik əmsali (F_i) kimi parametrləri qiymətləndirilmişdir. Göstərilən parametrlərin ədədi qiymətinə əsasən XSY Se₉₅Te₅ tərkibinin yaxşı şüşə əmələgətirdiyi qənaətinə gəlinmişdir.

Struktur çevrilmələrin kinetikasına dair mövcud nəzəriyyələrdən istifadə etməklə, maddənin şüşəvari haldan özlü hala keçməsi zamanı struktur relaksasiyalarının aktivləşmə enerjisi (140,24 kC/mol) təyin edilmişdir.

Kristallaşmanın mexanizmi və kinetikası haqqında mövcud müxtəlif nəzəri yanaşmalardan istifadə etməklə kristallaşmanın aktivləşmə enerjisi, m və n əmsalları hesablanmış və kristallaşma mexanizmi haqqında müəyyən fikir irəli sürülmüşdür. Kristallaşma mexanizmini xarakterizə edən əmsalların ədədi qiymətləri ($n=2.51$; $m=1.9$) iki ölçülü böyümə ilə müşayiət olunan həcmli nüvələşməyə uyğundur.

Başlangıçda $\ln[-\ln(1-\alpha)] 10^3/T$ - dən asılılıq qrafikinin meylinin yüksək qiyməti aktivləşmə enerjisində, paralel şəkildə baş verən nüvələşmə və böyümə proseslərinin töhfə verməsi ilə əlaqələndirilmişdir. Vaxt keçdikcə birinci proses zəifləyir ki, bu da kristallaşmanın aktivləşmə enerjisinin azalması ilə müşayiət olunur.

[1] B.J. Eggleton. Chalcogenide photonics: Fabrication, devices and applications. Introduction, *Opt. Express* 2010, vol. 18, №25, p. 26632.

[2] G. Tao, H. Ebendorff-Heidepriem, A.M.Stolyarov, S.Danto, J.V.Badding, Y.Fink, J.Ballato, A.F.Aboyraddy. Infrared fibers, *Adv.Opt. Photonics* 7, 2015, 379 e 458.

- [3] W.H. Kim, V.Q. Nguyen, L.B. Shaw, L.E. Busse, C. Florea, D.J. Gibson, R.R. Gattass, S.S. Bayya, F.H. Kung, G.D. Chin, R.E. Miklos, I.D. Aggarwal, J.S. Sanghera. Recent progress in chalcogenide fiber technology at NRL, *J. Non-Cryst. Sol.* 431, 2016, 8e15.
- [4] N. Mehta Applications of chalcogenide glasses in electronics and optoelectronics: a review *J. Sci. Ind. Res.*, 65 (10), 2006, pp. 777-786.
- [5] B. Bureau, X.H. Zhang, F. Smektala, J.L. Adam, J. Troles, H.L. Ma, C. Boussard-Pleldel, J. Lucas, P. Lucas, D. Le Coq, M.R. Riley, J.H. Simmons. Recent advances in chalcogenide glasses *J. Non-Cryst. Solids*, 345, 2004, pp. 276-283.
- [6] X. Zhang, H. Ma, J. Lucas. Applications of chalcogenide glass bulks and fibres *J. Optoelectron. Adv. Mater.*, 5 (5), 2003, pp. 1327-1333.
- [7] S. Raoux, W. Welnic, D. Ielmini. Phase change materials and their application to nonvolatile memories *Chem. Rev.*, 110 (1), 2010, p.240-267.
- [8] A. Kumar, R. Misra, S.K. Tripathi. Effect of partial crystallization on the photoconductive behaviour of amorphous thin films of Se₇₅Te₂₅. *Semicond Sci Technol.* 1989;4:1151–5
- [9] H.E. Kissinger. Variation of peak temperature with heating rate in differential thermal analysis. *J Res Natl Bur Stand.* 1956, 57, 217–21.
- [10] H.E. Kissinger. Reaction kinetics in differential thermal analysis. *Anal Chem.* 1957, 29, 1702–6.
- [11] J.A. Augis, J.E. Bennett. Calculation of the Avrami parameters for heterogeneous solid state reactions using a modification of the Kissinger method. *J Therm Anal.* 1978, 13, 283–92.
- [12] K. Matusita, T. Komatsu, R. Yokota. Kinetics of non-isothermal crystallization process and activation energy for crystal growth in amorphous materials. *J Mater Sci.* 1984, 19, 291–6.
- [13] Y.Q. Gao, W. Wang. On the activation energy of crystallization in metallic glasses. *J Non-Cryst Solids.* 1986, 81, 129–34.
- [14] C.T. Moynihan, A.J. Eastal, J. Wilder, J. Tucker. Dependence of the glass transition temperature on heating and cooling rate. *The Journal of Physical Chemistry.* 1974, 78, 2673-2677.
- [15] J.P. Larmagnac, J. Grenet, P. Michon. Glass transition temperature dependence on heating rate and on ageing for amorphous selenium films. *Journal of Non-Crystalline Solids.* 1981, 45(2), 157-168.
- [16] S.O. Kasap, C. Juhasz. Kinematical transformations in amorphous selenium alloys used in xerography. *Journal of Materials Science.* 1986, 21, 1329-1340.
- [17] W. Kauzmann. The nature of the glassy state and the behavior of liquids at low temperatures. *Chemical Reviews.* 1948, 43, 219-256.
- [18] A. Hrubý. Evaluation of glass-forming tendency by means of DTA. *Czechoslovak Journal of Physics.* 1972, 22, 1187-1193.
- [19] M. Avrami. Granulation, phase change, and microstructure kinetics of phase change. III. *J Chem Phys.* 1941, 9, 177–84.
- [20] M. Lasocka. The effect of scanning rate on glass transition temperature of splat-cooled Te₈₅Ge₁₅. *Mater Sci Eng.* 1976, 23, 173–7.
- [21] *Physical Review B.* 1993, 47, 2882-2885.
- [22] W.A. Johnson, R.F. Mehl. Reaction kinetics in processes of nucleation and growth. *Trans Am Inst Min Metall Eng.* 1939, 135, 416–58.
- [23] M. Avrami. Kinetics of phase change. I. General theory. *J Chem Phys.* 1939, 7, 1103–12.
- [24] M. Avrami. Kinetics of phase change. II. Transformation-time relations for random distribution of nuclei. *J Chem Phys.* 1940, 8, 212–24.
- [25] K. Matusita and S. Sakka. “Kinetic Study of the Crystallization of Glass by Differential Scanning Calorimetry, *Phys. Chem. Glasses* 20, 1979, XI.

T.M. Tarverdiyev, S.U. Atayeva

GLASS TRANSITION AND CRYSTALLIZATION PROCESSES IN Se₉₅Te₅ CHALCOGENIDE GLASSY SYSTEM

The glass transition and crystallization processes of Se₉₅Te₅ HG system were studied using a differential scanning calorimeter in non-isothermal mode with a heating rate of 5,10,15,20 K/min. The glass transition, crystallization, and melting temperatures were determined and the reduced value of the glass transition temperature (Trg), Hrubi coefficient (Kgl), brittleness coefficient (Fi), and Avrami coefficients (n and m), as well as the activation energy of the glass transition and crystallization processes (140.24 kJ/mol, 95.11 kJ/mol) was calculated. It has been shown that the composition of XSHY Se₉₅Te₅ has a high degree of glass-forming properties. It was determined that the crystallization mechanism ($n = 2.51$ $m = 1.9$) corresponds to volumetric nucleation accompanied by two-dimensional growth.

М.Г. Тарвердиев, С.У. Атаева

СТЕКЛОВАНИЕ И КРИСТАЛЛИЗАЦИЯ ХАЛЬКОГЕНИДНОЙ СТЕКЛООБРАЗНОЙ СИСТЕМЫ Se₉₅Te₅

На дифференциальном сканирующем калориметре в неизотермическом режиме со скоростью нагрева 5,10,15,20 К/мин исследованы процессы стеклования и кристаллизации ХСП системы Se₉₅Te₅. Определены температуры стеклования, кристаллизации и плавления, а также оценены редуцированное значение температуры стеклования (T_{rg}),

M.O. TARVERDİYEV, S.U. ATAYEVA

коэффициент Hraby (K_{gl}), коэффициент хрупкости (F_i) и коэффициент Аврами (n и m), а также энергия активации стеклования (140.24 кДж/моль) и кристаллизации ($E_c = 95.11$ кДж/моль). Показано, что ХСП состав $Se_{95}Te_5$ является хорошо стеклообразующим. Установлено, что механизм кристаллизации ($n = 2.51$ $m = 1.9$) соответствует объемному зародышеобразованию с двумерным ростом.

Qəbul olunma tarixi: 19.01.2024